### Interazioni Elettrodeboli

prof. Francesco Ragusa Università di Milano

Iscrizione appello

Lezione n. 20

13.12.2022

Interazioni di corrente neutra Modello standard Gruppo di simmetria  $\mathrm{SU}(2)_{\mathrm{L}} \otimes \mathrm{U}(1)_{\mathrm{Y}}$  Isospin debole Ipercarica debole Invarianza locale e interazioni

anno accademico 2022-2023

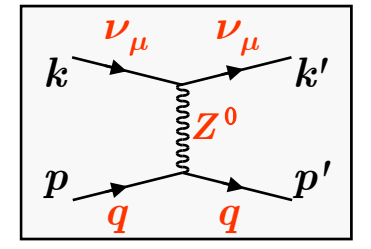
#### Interazioni di corrente neutra

• Ricaviamo adesso le formule per le sezioni d'urto di neutrini (e antineutrini) in processi di corrente neutra su nucleone

$$u_{\mu} N \to \nu_{\mu} X \qquad \qquad \overline{\nu}_{\mu} N \to \overline{\nu}_{\mu} X$$

- Vogliamo sviluppare le formule nell'ambito del modello a partoni
- Ci servono le sezioni d'urto per interazioni di neutrini su quark
- Una formulazione analoga a quella delle correnti cariche ci porta a ipotizzare un'ampiezza di scattering proporzionale al prodotto di due correnti

$$\mathfrak{M} = \frac{4G}{\sqrt{2}} 2\rho J_{\mu}^{NC}(\nu) J_{NC}^{\mu}(q)$$
 Normalizzazione  $c_v$  e  $c_a$  tro  $\rho$  tiene conto di un'eventuale differenza di fina la connente conica (C) e la connente neutra ( $\alpha$ C)



- Il parametro  $\rho$  tiene conto di un'eventuale differenza di intensità fra la corrente carica (G) e la corrente neutra  $(\rho G)$
- · Le correnti cariche hanno mostrato che il neutrino è sempre left-handed; assumiamo che la corrente neutra abbia la stessa forma chirale

$$J_{\mu}^{NC}\left(\nu\right)=\frac{1}{2}\,\overline{u}_{\nu}\gamma_{\mu}\left(1-\gamma^{5}\right)u_{\nu}$$

• Per la corrente dei quark si assumono sempre gli accoppiamenti vettoriali (V,A) ma con coefficienti  $c_v$  e  $c_a$  arbitrari da determinare

$$J_{\mu}^{NC}\left(q\right) = \frac{1}{2} \overline{u}_{q} \gamma_{\mu} \left(c_{v} - c_{a} \gamma^{5}\right) u_{q}$$

#### Interazioni di corrente neutra

$$J_{\mu}^{NC}\left(q\right) = \frac{1}{2} \overline{u}_{q} \gamma_{\mu} \left(c_{v} - c_{a} \gamma^{5}\right) u_{q}$$

- L'arbitrarietà di  $c_v$  e  $c_a$  (che devono essere determinati dall'esperimento) significa che la corrente neutra può contenere una componente LH e una RH
  - Infatti troviamo  $g_R$  e  $g_L$  tali che  $c_v-c_a\gamma^5=g_R\left(1+\gamma^5\right)+g_L\left(1-\gamma^5\right)$
  - Sviluppando

$$\begin{cases} g_R + g_L = c_v \\ g_R - g_L = -c_a \end{cases} \qquad \begin{cases} g_R = \frac{c_v - c_a}{2} \\ g_L = \frac{c_v + c_a}{2} \end{cases}$$

Infine

$$J_{\mu}^{NC}\left(q\right)=\frac{1}{2}g_{R}\overline{u}_{q}\gamma_{\mu}\left(1+\gamma^{5}\right)u_{q}+\frac{1}{2}g_{L}\overline{u}_{q}\gamma_{\mu}\left(1-\gamma^{5}\right)u_{q}$$

Pertanto l'elemento di matrice diventa

$$\mathfrak{M} = \frac{4G}{\sqrt{2}} 2\rho J_{\mu}^{NC}\left(\nu\right) J_{NC}^{\mu}\left(q\right) \\ = \frac{4G}{\sqrt{2}} 2\rho \left[ \mathbf{g}_{\underline{\boldsymbol{l}}} J_{\mu}^{NC}\left(\nu\right) J_{NC}^{\mu}\left(\mathbf{q}_{\underline{\boldsymbol{l}}}\right) + \mathbf{g}_{R} J_{\mu}^{NC}\left(\nu\right) J_{NC}^{\mu}\left(\mathbf{q}_{R}\right) \right]$$

- La somma dell'ampiezza di scattering di un neutrino
  - ullet Su un quark Right Handed  $q_R$  con intensità  $g_R$
  - ullet Su un quark Left Handed  $q_L$  con intensità  $g_L$

# Interazione neutrino quark (NC)

- Le sezioni d'urto per l'interazione neutrino-quark tramite corrente neutra possono essere scritte utilizzando i risultati ottenuti per le correnti cariche
  - Dal momento che la corrente neutra è una sovrapposizione di una corrente V-A e di una corrente V+A per ogni sezione d'urto occorre considerare due contributi
- Abbiamo inoltre visto che la dipendenza della sezione d'urto dall'angolo era determinata dalle elicità dei fermioni e dal momento angolare totale
  - La sezione d'urto è isotropa quando  $J_z=0$ 
    - Nei casi  $u_{\mu} \; q_L$  e  $u_{\mu} \; \overline{q}_R$

$$egin{aligned} oldsymbol{J}_z &= oldsymbol{0} \ & ext{Isotropa} \end{aligned}$$

- La sezione d'urto dipende da  $(1+\cos\theta)^2$  per  $J_z=\pm 1$ 
  - Nei casi  $u_{\mu} \ q_R$  e  $u_{\mu} \ \overline{q}_L$

$$J_z = 1 \rightarrow J_z = 1$$

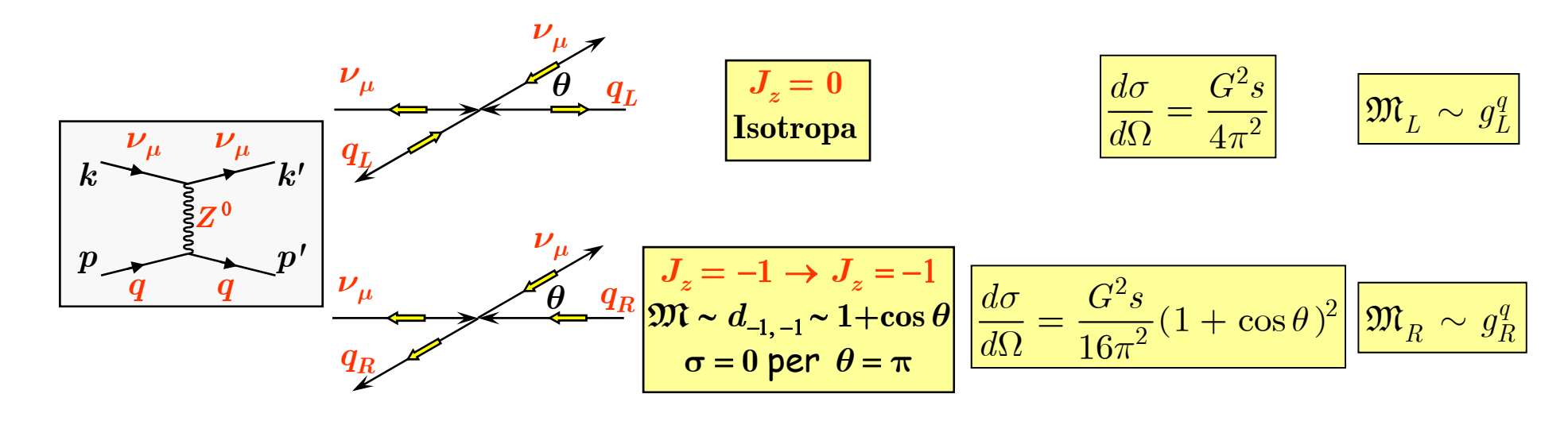
$$\sim d_{1, 1} \sim 1 + \cos \theta$$

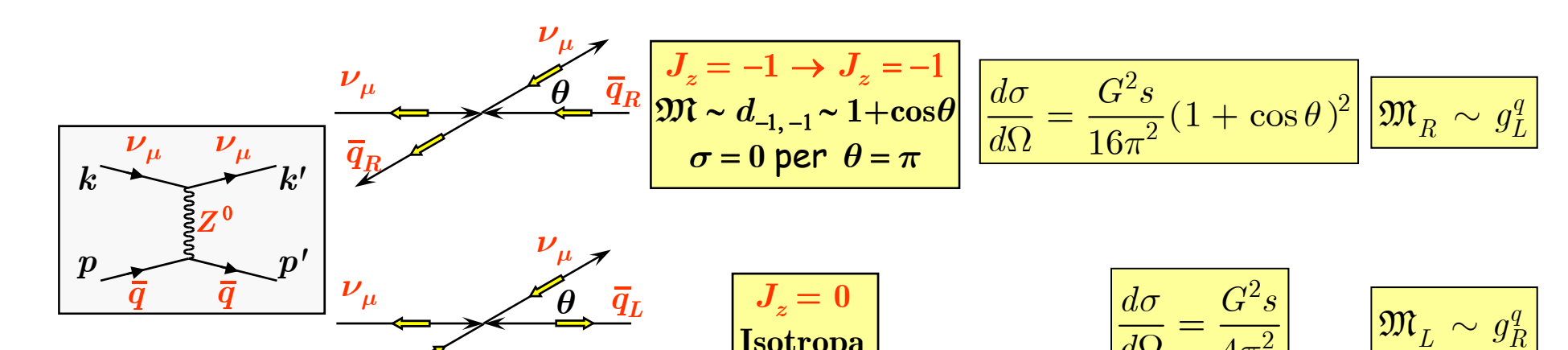
$$egin{aligned} oldsymbol{J_z} = 1 & oldsymbol{J_z} = 1 \ \sim d_{1,\,1} \sim 1 + \cos \theta \end{aligned} egin{aligned} oldsymbol{J_z} = -1 & oldsymbol{J_z} = -1 \ \sim d_{-1,-1} \sim 1 + \cos \theta \end{aligned}$$

- Per le interazioni di antineutrini valgono considerazioni analoghe
- Infine avevamo utilizzato la relazione

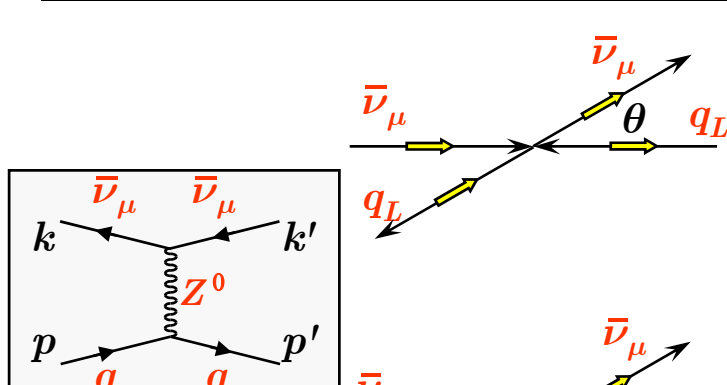
$$1 - y = \frac{1}{2}(1 + \cos\theta)$$

# Sezioni d'urto neutrino quark (NC)





# Sezioni d'urto antineutrino quark (NC)



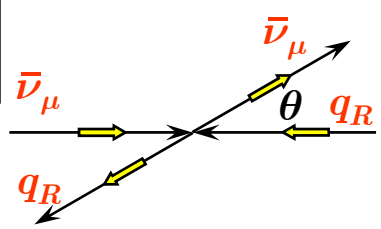
$$\begin{array}{c|c}
\overline{\nu}_{\mu} \\
\overline{\theta} \quad q_{L} \\
\overline{\mathfrak{M}} \sim d_{1,1} \sim 1 + \cos\theta \\
\sigma = 0 \text{ per } \theta = \pi
\end{array}$$

$$\frac{d\sigma}{d\Omega} = \frac{G^{2}s}{16\pi^{2}} (1 + \cos\theta)^{2}$$

$$\overline{\mathfrak{M}}_{L} \sim g_{L}^{q}$$

$$\frac{d\sigma}{d\Omega} = \frac{G^2 s}{16\pi^2} (1 + \cos\theta)^2$$

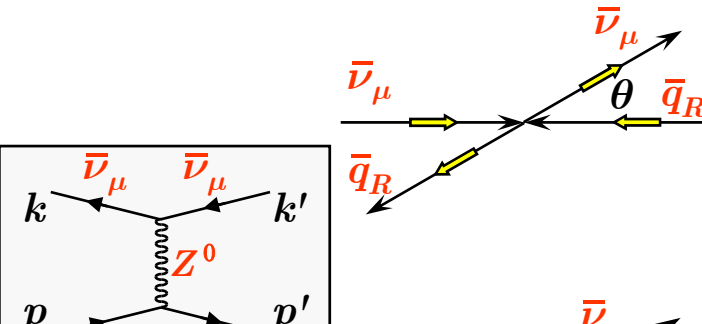
$$oxed{\mathfrak{M}_L \sim g_L^q}$$



$$oldsymbol{J_z} = oldsymbol{0}$$
 Isotropa

$$\frac{d\sigma}{d\Omega} = \frac{G^2s}{4\pi^2}$$

$$\mathfrak{M}_R \sim g_R^q$$



$$egin{aligned} oldsymbol{J}_z &= 0 \ ext{Isotropa} \end{aligned}$$

$$\frac{d\sigma}{d\Omega} = \frac{G^2s}{4\pi^2}$$

$$|\mathfrak{M}_R \sim g_L^q$$

$$J_z = +1 \rightarrow J_z = +1$$

$$\mathfrak{M} \sim d_{1,1} \sim 1 + \cos\theta$$

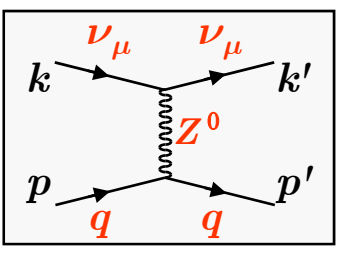
$$\sigma = 0 \text{ per } \theta = \pi$$

$$\frac{d\sigma}{d\Omega} = \frac{G^2 s}{16\pi^2} (1 + \cos\theta)^2$$

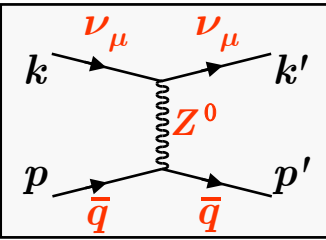
$$\boxed{\mathfrak{M}_L \, \sim \, g_R^q}$$

# Riepilogo sezioni d'urto (NC)

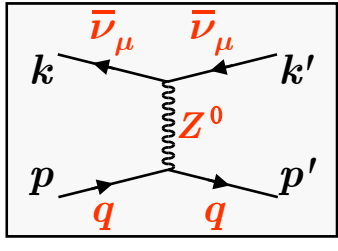
$$1 - y = \frac{1}{2}(1 + \cos\theta)$$



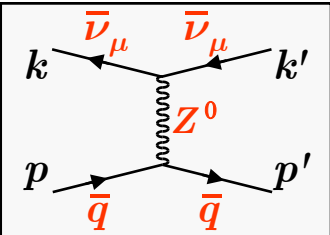
$$\left. \frac{d\sigma}{d\Omega} \right|_{\nu q} = \frac{G^2 s}{4\pi^2} \left[ \left( g_R^q \right)^2 \left( 1 - y \right)^2 + \left( g_L^q \right)^2 \right]$$



$$\left| \frac{d\sigma}{d\Omega} \right|_{\nu \overline{q}} = \frac{G^2 s}{4\pi^2} \left[ \left( g_R^q \right)^2 + \left( g_L^q \right)^2 \left( 1 - y \right)^2 \right]$$



$$\left. \frac{d\sigma}{d\Omega} \right|_{\overline{\nu}q} = \frac{G^2s}{4\pi^2} \left[ \left( g_R^q \right)^2 + \left( g_L^q \right)^2 \left( 1 - y \right)^2 \right]$$



$$\left. \frac{d\sigma}{d\Omega} \right|_{\overline{\nu q}} = \frac{G^2 s}{4\pi^2} \Big[ \Big( g_R^q \Big)^2 \left( 1 - y \right)^2 + \Big( g_L^q \Big)^2 \Big]$$

• Queste formule valgono anche per lo scattering neutrino elettrone

### Sezioni d'urto neutrino nucleone (NC)

• Per semplicità trascuriamo il contenuto di anti-guark

$$\left| \frac{d\sigma}{d\Omega} \right|_{\nu q} = \frac{G^2 s}{4\pi^2} \left[ \left( g_R^q \right)^2 \left( 1 - y \right)^2 + \left( g_L^q \right)^2 \right]$$

$$\frac{d\sigma^{\nu p}}{dxdy} = \frac{G^2s}{\pi} x \left\{ \left[ g_{dR}^2 d_p\left(x\right) + g_{uR}^2 u_p\left(x\right) \right] \left(1 - y\right)^2 + \left[ g_{dL}^2 d_p\left(x\right) + g_{uL}^2 u_p\left(x\right) \right] \right\}$$

Utilizzando la simmetria di isospin

$$d_p(x) = u_n(x) = d(x) \qquad \mathbf{p}$$



$$u_p(x) = d_n(x) = u(x)$$
  $\boldsymbol{n}$ 



$$\frac{d\sigma^{\nu p}}{dxdy} = \frac{G^2s}{\pi} x \left\{ \left[ g_{dR}^2 d\left(x\right) + g_{uR}^2 u\left(x\right) \right] \left(1 - y\right)^2 + \left[ g_{dL}^2 d\left(x\right) + g_{uL}^2 u\left(x\right) \right] \right\}$$

Per il neutrone

$$\left| \frac{d\sigma^{\nu n}}{dxdy} = \frac{G^2s}{\pi} x \left\{ \left[ g_{dR}^2 u\left(x\right) + g_{uR}^2 d\left(x\right) \right] \left(1 - y\right)^2 + \left[ g_{dL}^2 u\left(x\right) + g_{uL}^2 d\left(x\right) \right] \right\} \right|$$

### Sezioni d'urto anti-neutrino nucleone (NC)

• Per semplicità trascuriamo il contenuto di anti-guark

$$\left| \frac{d\sigma}{d\Omega} \right|_{\overline{\nu}q} = \frac{G^2s}{4\pi^2} \left[ \left( g_R^q \right)^2 + \left( g_L^q \right)^2 \left( 1 - y \right)^2 \right]$$

$$\frac{d\sigma^{\overline{\nu}p}}{dxdy} = \frac{G^2s}{\pi}x\left\{ \left[ g_{dR}^2d_p\left(x\right) + g_{uR}^2u_p\left(x\right) \right] + \left[ g_{dL}^2d_p\left(x\right) + g_{uL}^2u_p\left(x\right) \right] \left(1 - y\right)^2 \right\}$$

• Utilizzando la simmetria di isospin

$$d_p(x) = u_n(x) = d(x) \qquad \mathbf{p}$$



$$u_p(x) = d_n(x) = u(x)$$
  $\boldsymbol{n}$ 



$$\frac{d\sigma^{\overline{\nu}p}}{dxdy} = \frac{G^2s}{\pi}x\left\{ \left[ g_{dR}^2d\left(x\right) + g_{uR}^2u\left(x\right) \right] + \left[ g_{dL}^2d\left(x\right) + g_{uL}^2u\left(x\right) \right] \left(1 - y\right)^2 \right\}$$

Per il neutrone

$$\boxed{\frac{d\sigma^{\overline{\nu}n}}{dxdy} = \frac{G^2s}{\pi} x \left\{ \left[ g_{dR}^2 u\left(x\right) + g_{uR}^2 d\left(x\right) \right] + \left[ g_{dL}^2 u\left(x\right) + g_{uL}^2 d\left(x\right) \right] \left(1 - y\right)^2 \right\}}$$

# Sezioni d'urto per bersagli isoscalari (NC)

- Considerando nuclei bersaglio isoscalari (con uguale numero di neutroni e protoni) le sezioni d'urto sono la media delle sezioni d'urto precedenti
  - Per le sezioni d'urto di neutrino

$$\frac{d\sigma^{\nu p}}{dxdy} = \frac{G^2s}{\pi} x \left\{ \left[ g_{dR}^2 d(x) + g_{uR}^2 u(x) \right] (1 - y)^2 + \left[ g_{dL}^2 d(x) + g_{uL}^2 u(x) \right] \right\}$$

$$\frac{d\sigma^{\nu n}}{dxdy} = \frac{G^2s}{\pi} x \left\{ \left[ g_{dR}^2 u(x) + g_{uR}^2 d(x) \right] (1 - y)^2 + \left[ g_{dL}^2 u(x) + g_{uL}^2 d(x) \right] \right\}$$

- Definiamo  $Q(x) = \frac{u(x) + d(x)}{2}$
- Otteniamo

$$\frac{d\sigma^{\nu N}}{dxdy} = \frac{G^2s}{\pi} x \left\{ \left[ g_{dR}^2 + g_{uR}^2 \right] \left( 1 - y \right)^2 + \left[ g_{dL}^2 + g_{uL}^2 \right] \right\} Q(x)$$

- Definiamo  $g_R^2 \equiv g_{uR}^2 + g_{dR}^2$   $g_L^2 \equiv g_{uL}^2 + g_{dL}^2$
- Otteniamo
- E analogamente per le sezioni d'urto di anti-neutrino

$$\frac{d\sigma^{\nu N}}{dxdy} = \frac{G^2s}{\pi} x \left\{ g_R^2 \left( 1 - y \right)^2 + g_L^2 \right\} Q(x)$$

$$\left| \frac{d\sigma^{\nu N}}{dxdy} = \frac{G^2s}{\pi} x \left\{ g_R^2 \left( 1 - y \right)^2 + g_L^2 \right\} Q\left( x \right) \right| \left| \frac{d\sigma^{\overline{\nu}N}}{dxdy} = \frac{G^2s}{\pi} x \left\{ g_R^2 + g_L^2 \left( 1 - y \right)^2 \right\} Q\left( x \right) \right| \right| \left| \frac{d\sigma^{\overline{\nu}N}}{dxdy} = \frac{G^2s}{\pi} x \left\{ g_R^2 + g_L^2 \left( 1 - y \right)^2 \right\} Q\left( x \right) \right| \right| \left| \frac{d\sigma^{\overline{\nu}N}}{dxdy} = \frac{G^2s}{\pi} x \left\{ g_R^2 + g_L^2 \left( 1 - y \right)^2 \right\} Q\left( x \right) \right| \right| \left| \frac{d\sigma^{\overline{\nu}N}}{dxdy} = \frac{G^2s}{\pi} x \left\{ g_R^2 + g_L^2 \left( 1 - y \right)^2 \right\} Q\left( x \right) \right| \left| \frac{d\sigma^{\overline{\nu}N}}{dxdy} = \frac{G^2s}{\pi} x \left\{ g_R^2 + g_L^2 \left( 1 - y \right)^2 \right\} Q\left( x \right) \right| \left| \frac{d\sigma^{\overline{\nu}N}}{dxdy} = \frac{G^2s}{\pi} x \left\{ g_R^2 + g_L^2 \left( 1 - y \right)^2 \right\} Q\left( x \right) \right| \left| \frac{d\sigma^{\overline{\nu}N}}{dxdy} = \frac{G^2s}{\pi} x \left\{ g_R^2 + g_L^2 \left( 1 - y \right)^2 \right\} Q\left( x \right) \right| \left| \frac{d\sigma^{\overline{\nu}N}}{dxdy} = \frac{G^2s}{\pi} x \left\{ g_R^2 + g_L^2 \left( 1 - y \right)^2 \right\} Q\left( x \right) \right| \left| \frac{d\sigma^{\overline{\nu}N}}{dxdy} = \frac{G^2s}{\pi} x \left\{ g_R^2 + g_L^2 \left( 1 - y \right)^2 \right\} Q\left( x \right) \right| \left| \frac{d\sigma^{\overline{\nu}N}}{dxdy} = \frac{G^2s}{\pi} x \left\{ g_R^2 + g_L^2 \left( 1 - y \right)^2 \right\} Q\left( x \right) \right| \left| \frac{d\sigma^{\overline{\nu}N}}{dxdy} = \frac{G^2s}{\pi} x \left\{ g_R^2 + g_L^2 \left( 1 - y \right)^2 \right\} Q\left( x \right) \right| \left| \frac{d\sigma^{\overline{\nu}N}}{dxdy} = \frac{G^2s}{\pi} x \left\{ g_R^2 + g_L^2 \left( 1 - y \right)^2 \right\} Q\left( x \right) \right| \left| \frac{d\sigma^{\overline{\nu}N}}{dxdy} = \frac{G^2s}{\pi} x \left\{ g_R^2 + g_L^2 \left( 1 - y \right)^2 \right\} Q\left( x \right) \right| \left| \frac{d\sigma^{\overline{\nu}N}}{dxdy} = \frac{G^2s}{\pi} x \left\{ g_R^2 + g_L^2 \left( 1 - y \right)^2 \right\} Q\left( x \right) \right| \left| \frac{d\sigma^{\overline{\nu}N}}{dxdy} = \frac{G^2s}{\pi} x \left\{ g_R^2 + g_L^2 \left( 1 - y \right)^2 \right\} Q\left( x \right) \right| \left| \frac{d\sigma^{\overline{\nu}N}}{dxdy} = \frac{G^2s}{\pi} x \left\{ g_R^2 + g_L^2 \left( 1 - y \right)^2 \right\} Q\left( x \right) \right| \left| \frac{d\sigma^{\overline{\nu}N}}{dxdy} = \frac{G^2s}{\pi} x \left\{ g_R^2 + g_L^2 \left( 1 - y \right)^2 \right\} Q\left( x \right) \right| \left| \frac{d\sigma^{\overline{\nu}N}}{dxdy} = \frac{G^2s}{\pi} x \left\{ g_R^2 + g_L^2 \left( 1 - y \right)^2 \right\} Q\left( x \right) \right| \left| \frac{d\sigma^{\overline{\nu}N}}{dxdy} = \frac{G^2s}{\pi} x \left\{ g_R^2 + g_L^2 \left( 1 - y \right) \right\} Q\left( x \right) \right| \left| \frac{d\sigma^{\overline{\nu}N}}{dxdy} = \frac{G^2s}{\pi} x \left\{ g_R^2 + g_L^2 \left( 1 - y \right) \right\} Q\left( x \right) \right| \left| \frac{d\sigma^{\overline{\nu}N}}{dxdy} = \frac{G^2s}{\pi} x \left\{ g_R^2 + g_L^2 \left( 1 - y \right) \right\} Q\left( x \right) \right| \left| \frac{d\sigma^{\overline{\nu}N}}{dxdy} = \frac{G^2s}{\pi} x \left\{ g_R^2 + g_L^2 \left( 1 - y \right) \right\} Q\left( x \right)$$

## Sezioni d'urto per bersagli isoscalari (NC)

ullet Integriamo le sezioni d'urto rispetto a x e definiamo

$$Q = \int_0^1 x Q(x) dx = \int_0^1 x \left[ u(x) + d(x) \right] dx \qquad \overline{Q} = \int_0^1 x \overline{Q}(x) dx = \int_0^1 x \left[ \overline{u}(x) + \overline{d}(x) \right] dx$$

Otteniamo

$$\frac{d\sigma^{\nu N}}{dy} = \frac{G^2 s}{\pi} \Big\{ g_R^2 \left( 1 - y \right)^2 + g_L^2 \Big\} Q \qquad \qquad \frac{d\sigma^{\overline{\nu} N}}{dy} = \frac{G^2 s}{\pi} \Big\{ g_R^2 + g_L^2 \left( 1 - y \right)^2 \Big\} Q$$

Se non si trascura il contributo degli anti-quark

$$\frac{d\sigma^{\nu N}}{dy} = \frac{G^2s}{\pi} \left\{ g_R^2 \left[ \overline{Q} + Q \left( 1 - y \right)^2 \right] + g_L^2 \left[ Q + \overline{Q} \left( 1 - y \right)^2 \right] \right\}$$

$$\frac{d\sigma^{\overline{\nu}N}}{dy} = \frac{G^2s}{\pi} \left\{ g_R^2 \left[ Q + \overline{Q} \left( 1 - y \right)^2 \right] + g_L^2 \left[ \overline{Q} + Q \left( 1 - y \right)^2 \right] \right\}$$

- Le quantità Q e  $\overline{Q}$  sono state determinate dalle misure di sezione d'urto neutrino nucleone tramite CC (vedi diapositiva 571 )
  - Si possono determinare gli accoppiamenti<sup>†</sup>

$$g_L^2 = 0.292 \pm 0.010$$
  $g_R^2 = 0.036 \pm 0.011$ 

• † Eisele F. - High Energy Neutrino Interactions - Reports on Progress on Physics 49, p. 233 (1986)

#### Correnti neutre

$$g_L^2 = 0.292 \pm 0.010$$
  $g_R^2 = 0.036 \pm 0.011$ 

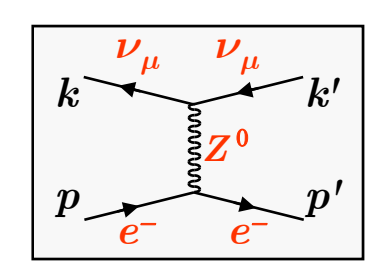
- ullet Il risultato precedente mostra che le correnti neutre hanno una componente predominante di tipo  $V\!-\!A$ 
  - Hanno comunque una componente V+A non trascurabile
- Le misure di interazioni di neutrini tramite corrente neutra sono difficili
  - Basse sezioni d'urto
  - Non si possono misurare le variabili cinematiche del leptone nello stato finale
  - Occorre un calorimetro adronico ad alte prestazioni
- Gli errori sono grandi
  - Sono risultati pre-LEP
  - È tuttavia importante sottolineare che queste misure confermano l'esistenza delle correnti neutre
  - Danno un impulso decisivo alla diffusione della teoria di Glashow-Weinberg-Salam

- Consideriamo le seguenti reazioni:
  - Neutrino muonico su elettrone

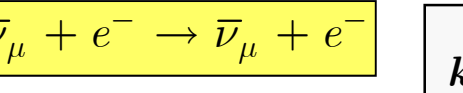
$$\nu_{\mu} + e^{-} \rightarrow \nu_{\mu} + e^{-}$$

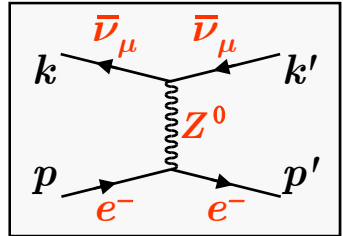
Procede solo tramite corrente neutra

$$\mathfrak{M}_{\nu_{\mu}e\rightarrow\nu_{\mu}e} = \frac{G}{\sqrt{2}} \overline{\nu} \gamma^{\mu} \left(1-\gamma^{5}\right) \nu \ \overline{e} \gamma_{\mu} \left(c_{v}^{e}-c_{a}^{e} \gamma^{5}\right) e$$



- Antineutrino muonico su elettrone
  - Procede solo tramite corrente neutra

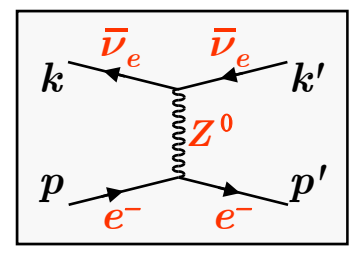


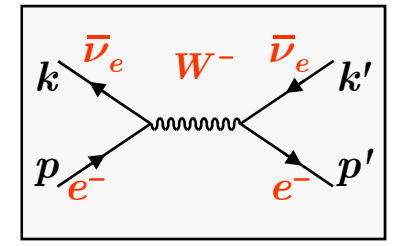


 Per finire la reazione antineutrino elettronico su elettrone

$$\overline{\nu_e + e^-} \to \overline{\nu}_e + e^-$$

 Può procedere sia attraverso la corrente neutra che la corrente carica





#### • Il calcolo delle sezioni d'urto dà

$$\nu_{\mu} + e^{-} \rightarrow \nu_{\mu} + e^{-}$$

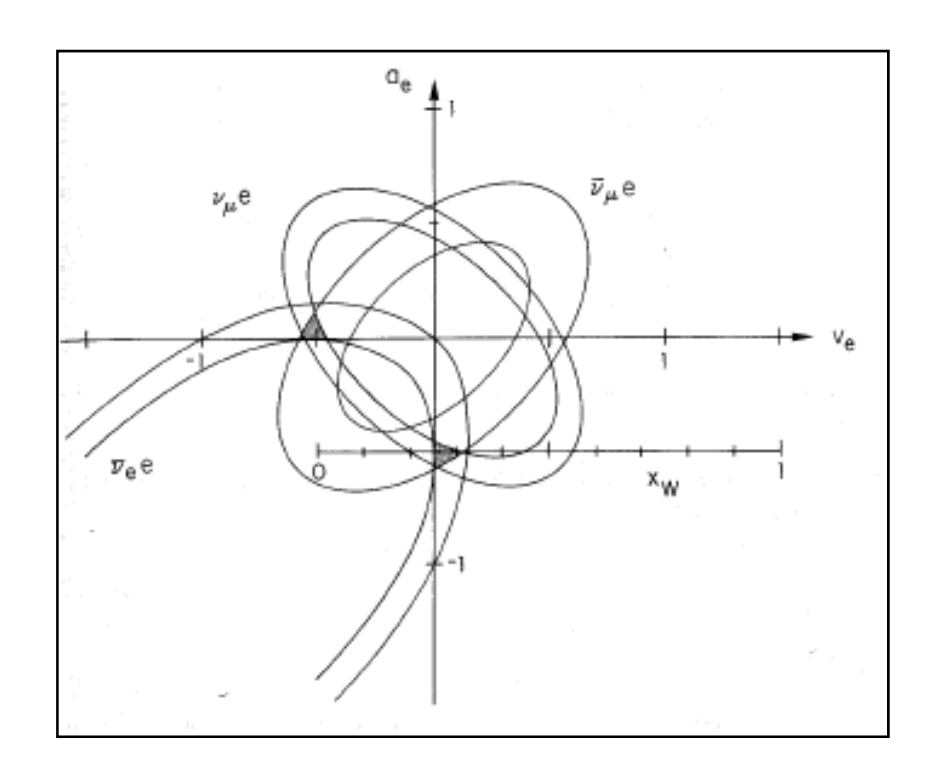
$$\sigma(\nu_{\mu}) = \frac{G^2 s}{3\pi} [v_e^2 + v_e a_e + a_e^2]$$

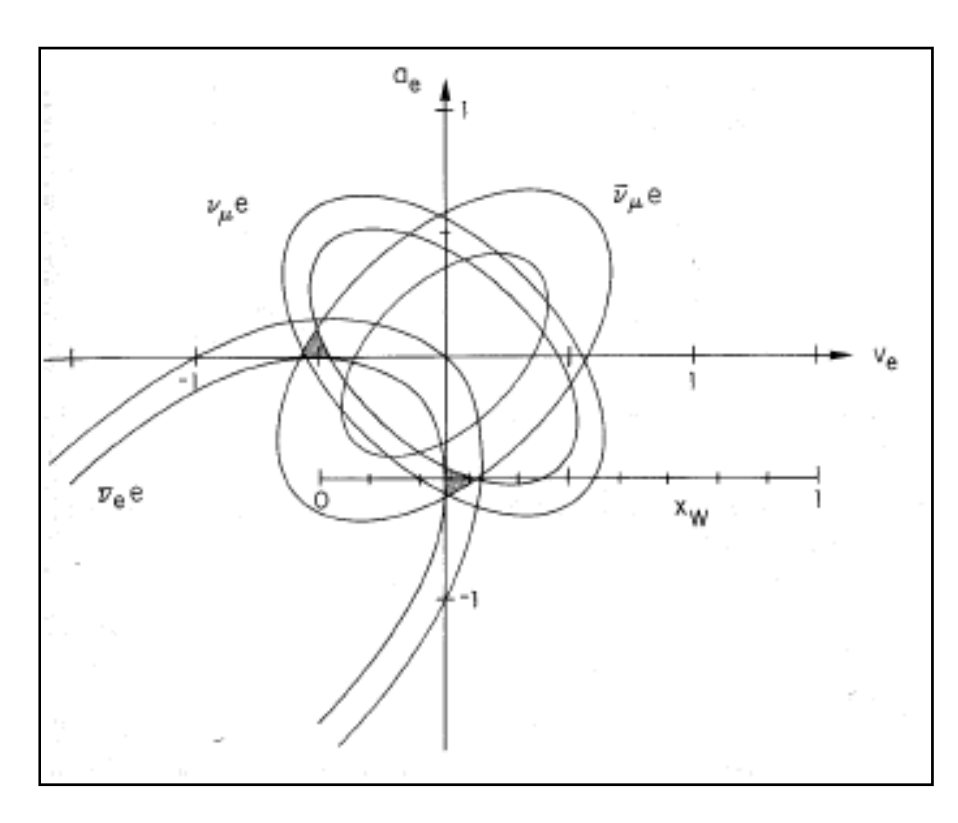
$$|\overline{\nu}_{\mu} + e^{-} \rightarrow \overline{\nu}_{\mu} + e^{-}|$$

$$\sigma(\overline{\nu}_{\mu}) = \frac{G^2 s}{3\pi} [v_e^2 - v_e a_e + a_e^2]$$

$$\overline{\nu}_e + e^- \rightarrow \overline{\nu}_e + e^-$$

$$\sigma(\bar{\nu}_e) = \frac{G^2 s}{3\pi} [v_e^2 - v_e a_e + a_e^2 + v_e + a_e + 1]$$





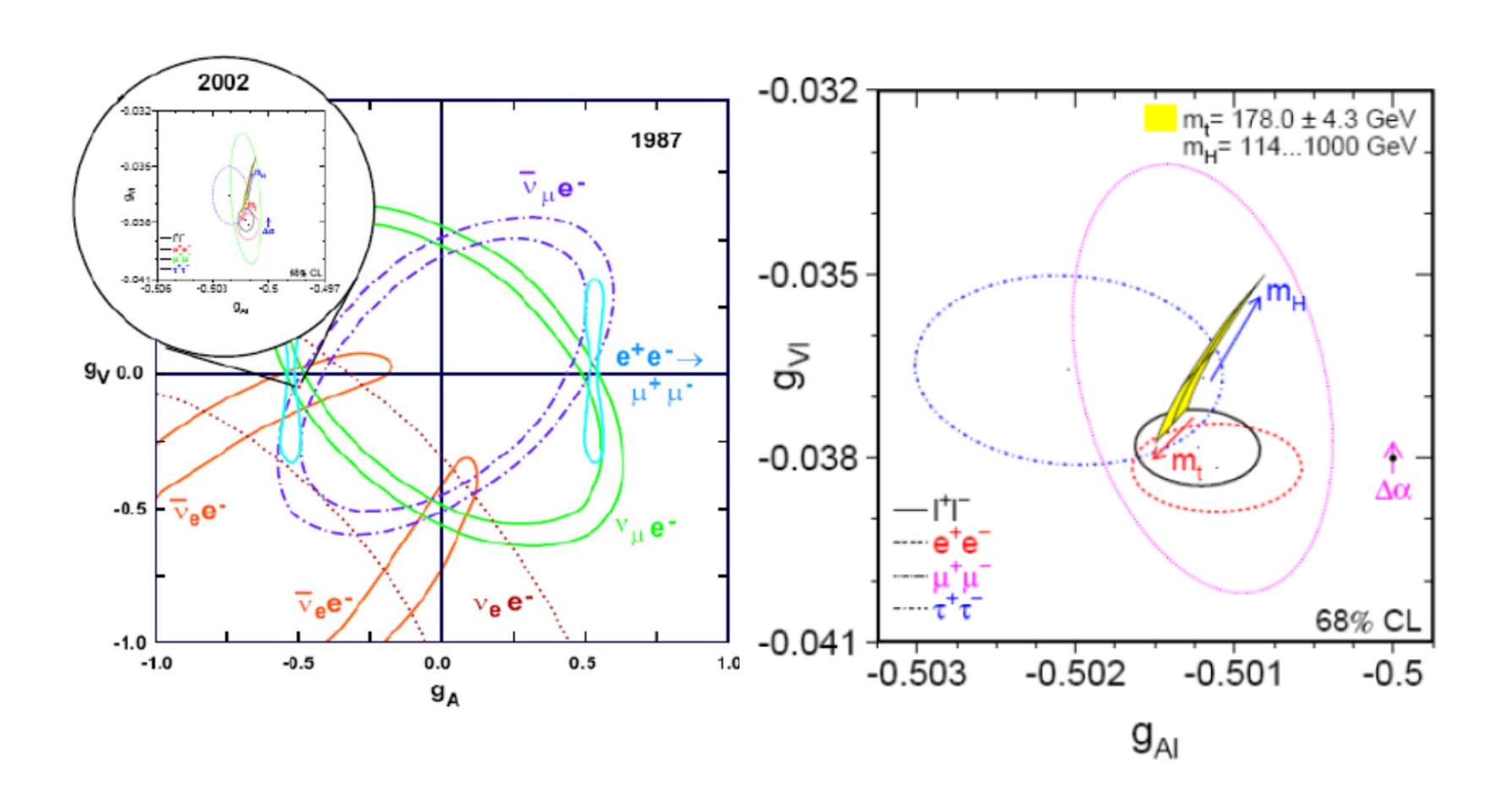
$$a_e = -0.52 \pm 0.06$$

$$v_e = -0.06 \pm 0.08$$

$$v_e = -\frac{1}{2} + 2\sin^2\theta_W \qquad a_e = -\frac{1}{2}$$

$$\sin^2 \theta_W \approx 0.25$$

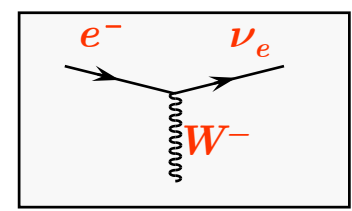
- Si tratta di risultati pre-LEP
- Citati per interesse storico
- Citati per rendersi conto della precisione delle misure di LEP



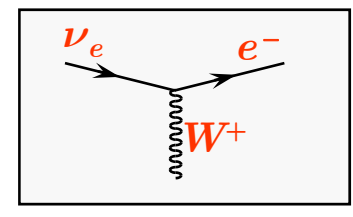
#### Le simmetrie del Modello Standard

- L'elettrodinamica è localmente invariante rispetto al gruppo  $\mathrm{U}(1)$ 
  - ullet La corrente elettromagnetica  $\dot{f e}$  una corrente neutra e ha componenti chirali LH e RH presenti in ugual misura
  - L'interazione elettromagnetica ha range infinito
    - Il mediatore della forza è senza massa (il fotone)
- L'interazione debole ha correnti cariche e correnti neutre
  - Richiede mediatori carichi e neutri; ne richiede tre
  - ullet La corrente carica ha solo la componente chirale LH
  - ullet La corrente neutra ha componenti chirali LH e RH presenti in misura differente
  - L'interazione debole ha un range molto breve
    - I quanti devono avere massa
- ullet Il gruppo proposto da Glashow, Weinberg e Salam tratta in modo differente le componenti chirali LH e RH dei fermioni

- Il modello standard delle Interazioni Elettrodeboli è l'applicazione della richiesta di invarianza locale di gauge alla teoria delle interazioni deboli
  - Richiede il passaggio dal gruppo abeliano  $\mathrm{U}(1)$  ad un gruppo più complesso
    - Il gruppo non abeliano  $SU(2)_L \otimes U(1)_V$
- Il gruppo  $SU(2)_L$  è associato ad un nuovo numero quantico
  - L'isospin debole
    - ullet La "L" indica che la simmetria  $\mathrm{SU}(2)$  si applica alla sola proiezione chirale left degli spinori
- · Le interazioni di corrente carica dei leptoni che abbiamo studiato sono descritte dai vertici



$$J_{\mu} = \overline{\nu}_e \gamma_{\mu} \frac{1}{2} (1 - \gamma^5) \epsilon$$



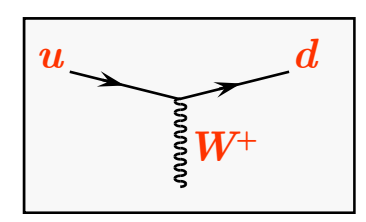
$$J_{\mu} = \overline{\nu}_e \gamma_{\mu} \frac{1}{2} (1 - \gamma^5) e \qquad J_{\mu}^{\dagger} = \overline{e} \gamma_{\mu} \frac{1}{2} (1 - \gamma^5) \nu_e$$

• Introducendo la proiezione chirale  $f_L=rac{1}{2}(1-\gamma^5\,)f$  le correnti sono riscritte

$$J_{\mu} = \overline{\nu}_{eL} \gamma_{\mu} e_L$$

$$J_{\mu}^{\dagger} = \overline{e}_{\!L} \gamma_{\mu} \nu_{e\!L}$$

• Vertici analoghi per i quark: transizioni da up a down e viceversa



$$J_{\mu} = \bar{d}_{L} \gamma_{\mu} u_{L}$$

• In analogia a quanto fatto con le correnti di Isospin con SU(2) si possono introdurre dei doppietti ( isospinori a due dimensioni )

$$\ell_L = \begin{pmatrix} \nu_e \\ e \end{pmatrix}_L \qquad q_L = \begin{pmatrix} u \\ d \end{pmatrix}_L$$

 Le proiezioni chirali Left dei fermioni sono pertanto raggruppate in multipletti (doppietti) di isospin debole  $T=\frac{1}{2}$   $\nu_L \quad T_3=+\frac{1}{2} \qquad \qquad e_L \quad T_3=-\frac{1}{2} \qquad \qquad u_L \quad T_3=+\frac{1}{2} \qquad \qquad d_L \quad T_3=-\frac{1}{2}$ 

$$\nu_L \quad T_3 = +\frac{1}{2}$$

$$e_L \quad T_3 = -\frac{1}{2}$$

$$u_L \stackrel{\circ}{T}_3 = +\frac{1}{2}$$

$$d_L \quad T_3 = -\frac{1}{2}$$

- ullet Le proiezioni chirali Right dei fermioni sono singoletti di isospin debole T=0
  - $e_R,\; u_R,\; d_R \;\;\; T=0 \;\;\;\;\; 
    u_R$  non esiste
- L'isospin debole è la carica debole
  - ullet Le proiezioni chirali Right sono " $\mathrm{SU}(2)$  neutre" e quindi non interagiscono con i bosoni  $W_1$   $W_2$   $W_3$  (e quindi neppure con  $W^\pm$ )

- ullet Vediamo come scrivere le correnti leptoniche e adroniche (quark) in  $\mathrm{SU(2)}_\mathrm{L}$ 
  - $J_i = \overline{\ell}_L \gamma_\mu \frac{\tau_i}{2} \ell_L$ ullet La simmetria globale  $\mathrm{SU}(2)_{\mathrm{L}}$  permette di introdurre le correnti conservate
    - Abbiamo usato le matrici di Pauli  $\tau_1 = \begin{pmatrix} 0 & 1 \\ 1 & 0 \end{pmatrix}$   $\tau_2 = \begin{pmatrix} 0 & -i \\ i & 0 \end{pmatrix}$   $\tau_3 = \begin{pmatrix} 1 & 0 \\ 0 & -1 \end{pmatrix}$
- Definiamo le correnti

$$J_{\pm} = J_1 \pm iJ_2$$

$$J_{\pm} = \overline{\ell}_L \gamma_{\mu} \tau_{\pm} \ell_L$$

$$J_{\pm} = J_1 \pm i J_2 \qquad \qquad J_{\pm} = \overline{\ell}_L \gamma_\mu \tau_{\pm} \ell_L \qquad \qquad \tau_{+} = \begin{pmatrix} 0 & 1 \\ 0 & 0 \end{pmatrix} \quad \tau_{-} = \begin{pmatrix} 0 & 0 \\ 1 & 0 \end{pmatrix}$$

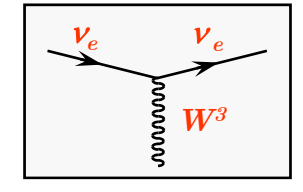
ullet La corrente carica leptonica si può riscrivere utilizzando  $J_{\scriptscriptstyle \perp}$ 

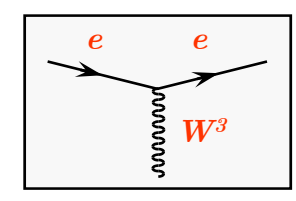
$$J_{+} = \overline{\ell}_{L} \gamma_{\mu} \tau_{+} \ell_{L} = \begin{pmatrix} \overline{\nu}_{e} & \overline{e} \end{pmatrix}_{L} \gamma_{\mu} \begin{pmatrix} 0 & 1 \\ 0 & 0 \end{pmatrix} \begin{pmatrix} \nu_{e} \\ e \end{pmatrix}_{L} = \begin{pmatrix} \overline{\nu}_{e} & \overline{e} \end{pmatrix}_{L} \gamma_{\mu} \begin{pmatrix} e \\ 0 \end{pmatrix}_{L} = \overline{\nu}_{eL} \gamma_{\mu} e_{L} = J_{\mu}^{\dagger}$$

- $\bullet$  Analogamente J
- C'è anche la corrente  $J_3$   $J_3=\overline{\ell}_L\gamma_\mu\frac{\tau_3}{2}\ell_L$   $J_3=\frac{1}{2}\overline{\nu}_L\gamma_\mu\nu_L-\frac{1}{2}\overline{e}_L\gamma_\mu e_L$

$$J_3 = \frac{1}{2} \overline{\nu}_L \gamma_\mu \nu_L - \frac{1}{2} \overline{e}_L \gamma_\mu e_L$$

- Corrisponderebbe ai diagrammi
- Correnti neutre di tipo V-A
- Fenomeni di corrente neutra di elettrone puramente V-A non sono mai stati osservati





- Le correnti  $J_1,\,J_2,\,J_3$  che abbiamo introdotto sono le correnti di isospin debole
  - ullet I 3 bosoni vettoriali  $W^{\mu}_{\ k}$  mediano l'interazione, come il fotone  $A^{\mu}$  nella QED
- In una teoria di gauge gli accoppiamenti delle correnti con i bosoni vettoriali sono fissati dall'invarianza di gauge locale
  - Per la QED l'invarianza per la trasformazione  $e^{ilpha(x)}$  di  $\mathrm{U}(1)$  richiede l'introduzione della derivata covariante

$$\partial_{\mu} \to D_{\mu} = \partial_{\mu} - ieA_{\mu}(x)$$

• Il nuovo termine fissa il vertice di interazione

$$\mathcal{L} = i\overline{\psi}\gamma^{\mu}\partial_{\mu}\psi - m\overline{\psi}\psi + e\overline{\psi}\gamma^{\mu}\psi A_{\mu}$$

- ullet Il gruppo  $\mathrm{U}(1)$  ha un parametro a cui corrisponde un bosone  $A^{\mu}$
- Nel caso dell'isospin debole gli accoppiamenti sono fissati dall'invarianza per trasformazioni di  $\mathrm{SU}(2)_\mathrm{L}$

$$\exp\left[i\,\vec{\alpha}\,(x)\frac{\vec{\tau}}{2}\right]^{\mathbf{T}} \qquad \qquad D_{\mu} = \partial_{\mu} - ig_{1}\,\frac{\mathbf{\tau}}{2}\cdot\mathbf{W}_{\mu}\,(x)$$

- ullet Il gruppo  $\mathrm{SU(2)_L}$  ha 3 parametri a cui corrispondono 3 bosoni  $W^k$
- Con  $D_\mu$  la Lagrangiana diventa  $\mathcal{L}=iar{\ell}\gamma^\mu\partial_\mu\ell-mar{\ell}\ell+g_1ar{\ell}\gamma^\murac{ au}{2}\cdot\mathbf{W}_\mu\ell$
- Abbiamo visto che la corrente mediata da  $W^3$  non corrisponde a fenomeni osservati

$$J_3 \, = \frac{1}{2} \overline{\nu}_L \gamma_\mu \nu_L \, - \frac{1}{2} \overline{e}_L \gamma_\mu e_L$$

- Contiene termini con la stessa struttura V-A delle correnti cariche
  - ullet La distribuzione angolare delle interazioni di corrente neutra di neutrini con elettroni e quarks mostra che non sono correnti  $V\!-\!A$  pure
- ullet Le correnti previste da  $J_3$  non sono osservate sperimentalmente
- Sperimentalmente si osserva che le correnti neutre dei fermioni carichi hanno sia una componente  $V\!-\!A$  che una  $V\!+\!A$

$$J_{\mu}^{NC} = g_R \overline{e}_R \gamma_{\mu} e_R + g_L \overline{e}_L \gamma_{\mu} e_L$$

 Osserviamo che anche la corrente elettromagnetica ha sia componenti Left-Handed che Right-Handed

$$J_{\mu}^{em} = -e\,\overline{u}\gamma_{\mu}u = -e\,\overline{u}_{R}\gamma_{\mu}u_{R} - e\,\overline{u}_{L}\gamma_{\mu}u_{L}$$

- ullet Partendo da questa osservazione si può tentare di usare un gruppo a 4 parametri e tentare di unificare
  - Interazioni deboli cariche e neutre
  - Interazioni elettromagnetiche, solo neutre

### Il modello standard

- Il gruppo di simmetria (a 4 parametri) del modello standard è  $\mathrm{SU}(2)_{\mathrm{L}} \otimes \mathrm{U}(1)_{\mathrm{Y}}$ 
  - Ai due gruppi sono associati i seguenti bosoni vettoriali

$$\left[\mathrm{SU}\left(2
ight)_{\!\!f L} \qquad W_1^\mu, W_2^\mu, W_3^\mu \qquad \left.\mathrm{U}\left(1
ight)_{\!\!f Y} \qquad B^\mu
ight]$$

- Il gruppo  $\mathrm{U}(1)_{\mathrm{Y}}$  è associato ad un ulteriore numero quantico
  - L'ipercarica debole, cui è associata una corrente di ipercarica debole
    - Analoga alla corrente  $\mathrm{U}(1)_{\mathrm{Q}}$  dell'elettromagnetismo

$$J_Y^\mu = \overline{f} \gamma^\mu Y f$$

- Tuttavia, come vedremo,  ${
  m Y}$  differenzia le componenti  $f_R$  e  $f_L$
- La relazione fra isospin debole, ipercarica debole e carica è identica alla relazione di Gell-Mann e Nishijima

$$\frac{Q}{e} = T_3 + \frac{Y}{2}$$

- Questa relazione ci dice che una opportuna combinazione di correnti di isospin debole e di corrente di ipercarica debole produce la corrente elettromagnetica
- Per i fermioni

• Discuteremo in seguito queste assegnazioni dell'ipercarica debole ai fermioni

### Il modello standard

• L'Invarianza locale di Gauge fissa gli accoppiamenti Bosoni-Correnti

$$D_{\mu} = \partial_{\mu} + ig_1 \frac{\tau}{2} \cdot \mathbf{W}_{\mu}(x) + ig_2 \frac{Y}{2} B_{\mu} \qquad \mathcal{L}' = g_1 \left( J_1^{\mu} W_{\mu}^1 + J_2^{\mu} W_{\mu}^2 + J_3^{\mu} W_{\mu}^3 \right) + \frac{1}{2} g_2 J_Y^{\mu} B_{\mu}$$

• La corrente di ipercarica per i leptoni è data da

$$J_Y^\mu = \overline{f} \, \gamma^\mu Y f \qquad \qquad J_Y^\mu = -2 \overline{e}_R \gamma^\mu e_R - 1 \overline{e}_L \gamma^\mu e_L - 1 \overline{\nu}_L \gamma^\mu \nu_L$$

- I parametri  $g_1$  e  $g_2$  sono le costanti di accoppiamento relative ai gruppi  $\mathrm{SU}(2)_\mathrm{L}$  e  $\mathrm{U}(1)_\mathrm{Y}$  rispettivamente
  - I bosoni vettoriali W e B hanno massa nulla (teoria rinormalizzabile)
- Per dotare i bosoni di massa Weinberg e Salam introdussero nella teoria il meccanismo della rottura spontanea della simmetria
  - Introduzione di un doppietto scalare: il campo di Higgs
  - Vedremo che tramite la rottura della simmetria i bosoni  $\,W^3$  e  $\,B$  sono sostituiti dalle combinazioni lineari ( $\,M_A=0,\,M_Z\,)$

$$A_{\mu} = B_{\mu} \cos \theta_W + W_{\mu}^3 \sin \theta_W$$

$$B_{\mu} = A_{\mu} \cos \theta_W - Z_{\mu} \sin \theta_W$$

$$Z_{\mu} = -B_{\mu} \sin \theta_W + W_{\mu}^3 \cos \theta_W$$

$$W_{\mu}^3 = A_{\mu} \sin \theta_W + Z_{\mu} \cos \theta_W$$

$$W_{\mu}^3 = A_{\mu} \sin \theta_W + Z_{\mu} \cos \theta_W$$

### Correnti cariche

• Le correnti accoppiate ai bosoni  $W^1$  e  $W^2$  sono

$$g_1 \left( J_1^{\mu} W_{\mu}^1 + J_2^{\mu} W_{\mu}^2 \right)$$

• Utilizzando l'isospin debole abbiamo definito le correnti

$$J_{+} = J_{1} + iJ_{2}$$
  $J_{-} = J_{1} - iJ_{2}$   $J_{1} = \frac{1}{2}(J_{+} + J_{-})$   $J_{2} = \frac{i}{2}(J_{-} - J_{+})$ 

ullet Sostituendo  $J_1$  e  $J_2$  nella prima espressione

$$\frac{g_1}{2} \left( \left( J_+^\mu + J_-^\mu \right) W_\mu^1 + i \left( J_-^\mu - J_+^\mu \right) W_\mu^2 \right) \qquad \frac{g_1}{2} \left( J_+^\mu \left( W_\mu^1 - i W_\mu^2 \right) + J_-^\mu \left( W_\mu^1 + i W_\mu^2 \right) \right)$$

• Definiamo i nuovi bosoni  $W^+$  e  $W^-$ 

$$W_{\mu}^{+} = \frac{W_{\mu}^{1} - iW_{\mu}^{2}}{\sqrt{2}} \qquad W_{\mu}^{-} = \frac{W_{\mu}^{1} + iW_{\mu}^{2}}{\sqrt{2}}$$

- Vedremo che le combinazioni  $\mathit{W}^{\scriptscriptstyle +}$  e  $\mathit{W}^{\scriptscriptstyle -}$  hanno massa  $\mathit{M}_{\mathit{W}}$
- Sostituendo otteniamo

$$\frac{g_1}{\sqrt{2}} \left( J_+^{\mu} W_{\mu}^+ + J_-^{\mu} W_{\mu}^- \right)$$

- Queste sono le interazioni di correnti cariche che abbiamo studiato
  - Hanno la struttura V-A

## Corrente elettromagnetica: Isospin+Ipercarica

• Interpretiamo adesso le correnti neutre

$$J^Y_\mu = Y_{eR} \overline{e}_R \gamma_\mu e_R + Y_{eL} \overline{e}_L \gamma_\mu e_L + Y_{\nu L} \overline{\nu}_L \gamma_\mu \nu_L \qquad \qquad J_3 = \frac{1}{2} \overline{\nu}_L \gamma_\mu \nu_L - \frac{1}{2} \overline{e}_L \gamma_\mu e_L$$

- Gli accoppiamenti sono
- $g_1 J_3^{\mu} W_{\mu}^3 + \frac{1}{2} g_2 J_Y^{\mu} B_{\mu}$
- Sostituiamo la definizione dei Bosoni Neutri ottenuti dopo la rottura spontanea della simmetria

$$B_{\mu} = A_{\mu} \cos \theta_W - Z_{\mu} \sin \theta_W \qquad W_{\mu}^3 = A_{\mu} \sin \theta_W + Z_{\mu} \cos \theta_W$$

Otteniamo

$$g_1 J_3^\mu W_\mu^3 \ + \frac{1}{2} \, g_2 J_Y^\mu B_\mu^{\phantom{A}} = \underbrace{g_1 J_3^\mu A_\mu \sin \theta_W^{\phantom{A}}} + g_1 J_3^\mu Z_\mu^{\phantom{A}} \cos \theta_W^{\phantom{A}} \ + \underbrace{\frac{1}{2} \, g_2 J_Y^\mu A_\mu^{\phantom{A}} \cos \theta_W^{\phantom{A}}} - \frac{1}{2} \, g_2 J_Y^\mu Z_\mu^{\phantom{A}} \sin \theta_W^{\phantom{A}}$$

ullet Consideriamo dapprima le correnti accoppiate ad  $A_{\mu}$ . Sostituendo le J

$$\frac{1}{2}g_1\left(\overline{\nu}_L\gamma^{\mu}\nu_L - \overline{e}_L\gamma^{\mu}e_L\right)A_{\mu}\sin\theta_W + \frac{1}{2}g_2\left(Y_{eR}\overline{e}_R\gamma^{\mu}e_R + Y_{eL}\overline{e}_L\gamma^{\mu}e_L + Y_{eL}\overline{\nu}_L\gamma^{\mu}\nu_L\right)A_{\mu}\cos\theta_W$$

- - Sappiamo che il fotone non si accoppia al neutrino
    - Bisogna eliminare i termini con i campi  $u_L$

# Corrente elettromagnetica: Isospin+Ipercarica

$$\frac{1}{2} \left( g_1 \sin \theta_W \overline{\nu}_L \gamma^\mu \nu_L \right) - g_1 \sin \theta_W \overline{e}_L \gamma^\mu e_L - 2g_2 \cos \theta_W \overline{e}_R \gamma^\mu e_R - g_2 \cos \theta_W \ \overline{e}_L \gamma^\mu e_L - \left( g_2 \cos \theta_W \ \overline{\nu}_L \gamma^\mu \nu_L \right) A_\mu e_L \right)$$

• Per eliminare i termini con i neutrini è sufficiente porre

$$g_1 \sin \theta_W = g_2 \cos \theta_W$$

Sopravvivono i termini

$$\frac{1}{2} \Big( -g_1 \sin \theta_W \overline{e}_L \gamma^\mu e_L - 2g_2 \cos \theta_W \overline{e}_R \gamma^\mu e_R - g_2 \cos \theta_W \overline{e}_L \gamma^\mu e_L \Big) A_\mu$$

• Perché questa sia la corrente elettromagnetica gli accoppiamenti di  $e_L$  e  $e_R$  devono essere uguali fra di loro e uguali alla carica dell'elettrone e

$$-g_1 \sin \theta_W - g_2 \cos \theta_W = -2g_2 \cos \theta_W$$

Otteniamo infine

$$g_1 \sin \theta_W = g_2 \cos \theta_W = e$$

Sostituendo

$$\frac{1}{2} \Big( -e \overline{e}_L \gamma^{\mu} e_L - 2e \overline{e}_R \gamma^{\mu} e_R - e \overline{e}_L \gamma^{\mu} e_L \Big) A_{\mu} = -e \Big( \overline{e}_L \gamma^{\mu} e_L + \overline{e}_R \gamma^{\mu} e_R \Big) A_{\mu}$$

• Contiene componenti RH e LH in equal misura

Abbiamo ritrovato la Interazione Elettromagnetica

### Corrente debole neutra

• Veniamo ai termini accoppiati a  $\mathbf{Z}_{\mu}$ 

$$g_1 J_3^{\mu} A_{\mu} \sin \theta_W + g_1 J_3^{\mu} Z_{\mu} \cos \theta_W + \frac{1}{2} g_2 J_Y^{\mu} A_{\mu} \cos \theta_W - \frac{1}{2} g_2 J_Y^{\mu} Z_{\mu} \sin \theta_W$$

Sostituendo le correnti

$$J_{\mu}^{Y} = Y_{eR} \overline{e}_{R} \gamma_{\mu} e_{R} + Y_{eL} \overline{e}_{L} \gamma_{\mu} e_{L} + Y_{\nu L} \overline{\nu}_{L} \gamma_{\mu} \nu_{L} \qquad J_{3} = \frac{1}{2} \overline{\nu}_{L} \gamma_{\mu} \nu_{L} - \frac{1}{2} \overline{e}_{L} \gamma_{\mu} e_{L}$$

Otteniamo

$$g_1 \bigg( \frac{1}{2} \overline{\nu}_L \gamma^\mu \nu_L - \frac{1}{2} \overline{e}_L \gamma^\mu e_L \bigg) Z_\mu \cos \theta_W - \frac{1}{2} g_2 \Big( Y_{eR} \overline{e}_R \gamma^\mu e_R + Y_{eL} \, \overline{e}_L \gamma^\mu e_L + Y_{\nu L} \, \overline{\nu}_L \gamma^\mu \nu_L \Big) Z_\mu \sin \theta_W$$

• Sostituiamo i valori dell'ipercarica:  $Y_{eL} = Y_{
u L} = -1$  e  $Y_{eR} = -2$ 

$$g_1 \left( \frac{1}{2} \overline{\nu}_L \gamma^\mu \nu_L - \frac{1}{2} \overline{e}_L \gamma^\mu e_L \right) Z_\mu \cos \theta_W + \frac{1}{2} g_2 \left( 2 \overline{e}_R \gamma^\mu e_R + \overline{e}_L \gamma^\mu e_L + \overline{\nu}_L \gamma^\mu \nu_L \right) Z_\mu \sin \theta_W$$

$$\frac{1}{\cos\theta_W}\Big[g_1\cos^2\theta_W\left(\frac{1}{2}\overline{\nu}_L\gamma^\mu\nu_L\,-\frac{1}{2}\overline{e}_L\gamma^\mu e_L\,\right) + \frac{1}{2}g_2\cos\theta_W\sin\theta_W\left(2\overline{e}_R\gamma^\mu e_R\,+\overline{e}_L\gamma^\mu e_L\,+\overline{\nu}_L\gamma^\mu\nu_L\,\right)\Big]Z_\mu$$

• Sostituiamo  $g_2 {\cos heta_W} = g_1 {\sin heta_W}$ 

$$\frac{g_1}{2\cos\theta_W} \left[\cos^2\theta_W \left(\overline{\nu}_L \gamma^\mu \nu_L - \overline{e}_L \gamma^\mu e_L\right) + \sin^2\theta_W \left(2\overline{e}_R \gamma^\mu e_R + \overline{e}_L \gamma^\mu e_L + \overline{\nu}_L \gamma^\mu \nu_L\right)\right] Z_\mu$$

### Corrente debole neutra

$$\frac{g_1}{2\cos\theta_W} \Big[\cos^2\theta_W \Big(\overline{\nu}_L\gamma^\mu\nu_L\Big) - \overline{e}_L\gamma^\mu e_L \Big) + \sin^2\theta_W \Big(2\overline{e}_R\gamma^\mu e_R + \overline{e}_L\gamma^\mu e_L \Big(\overline{\nu}_L\gamma^\mu\nu_L\Big) \Big] Z_\mu$$

• Semplifichiamo i termini del neutrino  $(\sin^2\! heta_W + \cos^2\! heta_W = 1)$ 

$$\frac{g_1}{2\cos\theta_W} \Big[ \overline{\nu}_L \gamma^\mu \nu_L - \cos^2\theta_W \overline{e}_L \gamma^\mu e_L + \sin^2\theta_W \Big( 2\overline{e}_R \gamma^\mu e_R + \overline{e}_L \gamma^\mu e_L \Big) \Big] Z_\mu$$

- ullet Osserviamo che  $e_L$  e  $e_R$  hanno accoppiamenti diversi
- ullet Inoltre il neutrino  $u_L$  ha solo accoppiamento LH
- La forma usualmente usata si ottiene sostituendo  $\ \overline{e}_L\gamma^\mu e_L=2\overline{e}_L\gamma^\mu e_L-\overline{e}_L\gamma^\mu e_L$

$$\frac{g_{1}}{2\cos\theta_{W}}\Big[\overline{\nu}_{L}\gamma^{\mu}\nu_{L} - \cos^{2}\theta_{W}\overline{e}_{L}\gamma^{\mu}e_{L} - \sin^{2}\theta_{W}\overline{e}_{L}\gamma^{\mu}e_{L} + 2\sin^{2}\theta_{W}\left(\overline{e}_{R}\gamma^{\mu}e_{R} + \overline{e}_{L}\gamma^{\mu}e_{L}\right)\Big]Z_{\mu}$$

$$\frac{g_{1}}{2\cos\theta_{W}}\Big[\overline{\nu}_{L}\gamma^{\mu}\nu_{L} - \overline{e}_{L}\gamma^{\mu}e_{L} + 2\sin^{2}\theta_{W}\left(\overline{e}_{R}\gamma^{\mu}e_{R} + \overline{e}_{L}\gamma^{\mu}e_{L}\right)\Big]Z_{\mu}$$

$$\frac{g_{1}}{\cos\theta_{W}}\Big[J_{3}^{\mu} + \sin^{2}\theta_{W}J_{em}^{\mu}\Big]Z_{\mu}$$

• Generalizzando anche ai quark si può verificare che la corrente neutra si può scrivere come

$$\frac{g_1}{2\cos\theta_W} \Big[ \, T_3^f \overline{f} \, \gamma^\mu \, \big( 1 - \gamma^5 \, \big) f \, + \, 2 Q_f \sin^2\theta_W \overline{f} \, \gamma^\mu f \, \Big] Z_\mu$$

### La corrente debole neutra

$$\frac{g_1}{2\cos\theta_W} \left[ T_3^f \overline{f} \gamma^\mu \left( 1 - \gamma^5 \right) f + 2Q_f \sin^2\theta_W \overline{f} \gamma^\mu f \right] Z_\mu$$

Infatti, elaboriamo la correte leptonica

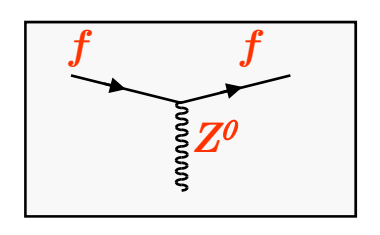
$$\begin{split} &\frac{g_1}{2\cos\theta_W} \Big[ \overline{\nu}_L \gamma^\mu \nu_L - \overline{e}_L \gamma^\mu e_L + 2\sin^2\theta_W \left( \overline{e}_R \gamma^\mu e_R + \overline{e}_L \gamma^\mu e_L \right) \Big] Z_\mu \\ &\frac{g_1}{2\cos\theta_W} \Big[ \frac{1}{2} \overline{\nu}_e \gamma^\mu \left( 1 - \gamma^5 \right) \nu_e - \frac{1}{2} \overline{e} \gamma^\mu \left( 1 - \gamma^5 \right) e + 2\sin^2\theta_W \overline{e} \gamma^\mu e \Big] Z_\mu \\ &\frac{g_1}{2\cos\theta_W} \Big[ T_3^f \overline{f} \gamma^\mu \left( 1 - \gamma^5 \right) f + 2Q_f \sin^2\theta_W \overline{f} \gamma^\mu f \Big] Z_\mu \end{split}$$

Ricordiamo infine la relazione

$$\frac{g_1}{\cos\theta_W} = \frac{g_1\sin\theta_W}{\cos\theta_W\sin\theta_W} = \frac{e}{\cos\theta_W\sin\theta_W}$$

### Interazioni nel modello standard

• La corrente neutra viene anche rappresentata nei seguenti modi equivalenti



$$J_{\mu}^{NC} = \frac{-ie}{\cos\theta_W \sin\theta_W} \frac{1}{2} \overline{f} \gamma_{\mu} \left[ \left( 1 - \gamma^5 \right) T_f^3 - 2Q_f \sin^2\theta_W \right] f$$

$$J_{\mu}^{NC} = \frac{-ie}{\cos\theta_W \sin\theta_W} \frac{1}{2} \overline{f} \gamma_{\mu} \left[ \left( T_f^3 - 2Q_f \sin^2\theta_W \right) - T_f^3 \gamma^5 \right] f$$

$$J_{\mu}^{NC} = \frac{-ie}{\cos\theta_{W}\sin\theta_{W}} \frac{1}{2} \overline{f} \gamma_{\mu} \left[ v_{f} - a_{f} \gamma^{5} \right] f$$

$$\begin{aligned} v_{\nu} &= +\frac{1}{2} & a_{\nu} &= +\frac{1}{2} \\ v_{e} &= -\frac{1}{2} + 2\sin^{2}\theta_{W} & a_{e} &= -\frac{1}{2} \\ v_{u} &= +\frac{1}{2} - \frac{4}{3}\sin^{2}\theta_{W} & a_{u} &= +\frac{1}{2} \\ v_{d} &= -\frac{1}{2} + \frac{2}{3}\sin^{2}\theta_{W} & a_{d} &= -\frac{1}{2} \end{aligned}$$

$$\begin{aligned} v_{f} &= T_{f}^{3} - 2Q_{f}\sin^{2}\theta_{W} & a_{f} &= T_{f}^{3} \\ \hline \frac{e^{4}}{\sin^{4}\theta_{W}\cos^{4}\theta_{W}} &= 32G^{2}M_{Z}^{4} \\ \hline \frac{e^{4}}{\sin^{4}\theta_{W}\cos^{4}\theta_{W}} &= 32G^{2}M_{Z}^{4} \end{aligned}$$

$$v_f = T_f^3 - 2Q_f \sin^2 \theta_W \qquad a_f = T_f^3$$

$$\frac{e^4}{\sin^4\theta_W \cos^4\theta_W} = 32G^2 M_Z^4$$